

논문 2013-50-1-14

Symmetric Balance Incomplete Block Design Code의 Spectral Efficiency

(Spectral Efficiency Of Symmetric Balance Incomplete Block Design
Codes)

지 윤 규*

(Yoon Kyoo Jhee)

요 약

본 논문은 symmetric balance incomplete block design(BIBD) code의 $BER=10^{-9}$ 을 만족하는 spectral efficiency를 구하였다. 이 계산 결과 effective power가 큰 경우 ($P_{sr} = -10$ dBm)는 $m=2$ 로 고정시키고 q 값을 변화시키는 ideal BIBD code 구성이 효율적이었다. 이와 반대로 effective power가 작은 경우 ($P_{sr} = -25$ dBm)는 ideal BIBD code 구성 보다는 $q > 2$ 인 값을 취하고 m 값을 변화시키는 설계가 더 효율적임을 알 수 있었다.

Abstract

By calculating the spectral efficiency of symmetric balance incomplete block design(BIBD) codes satisfying $BER=10^{-9}$, it can be found that ideal BIBD code design with $m = 2$ and various q 's is effective when effective power is high($P_{sr} = -10$ dBm). But BIBD code design with $q > 2$ and various m 's can be effective when effective power is low($P_{sr} = -25$ dBm).

Keywords : spectral efficiency, BIBD code, phase-induced intensity noise(PIIN), optical CDMA

I. 서 론

간헐적으로 나타나면서 또한 비교적 낮은 bit rate(<1Gb/s)를 내보내는 local area network(LAN)에서 optical code-division multiple-access(OCDMA)는 asynchronous high-capacity 통신수단을 제공할 수 있어 유용하다. 초기의 CDMA 시스템은 신호를 time-domain에서 encode하기 위하여 pseudoorthogonal sequence를 사용하였으나 사용자 수가 증가하면 code

의 길이가 매우 길어지며 multiple-access interference (MAI)가 증가하여 시스템 성능을 제한하는 요소가 된다. 이러한 문제를 해결하고 사용자간의 quasiorthogonality를 유지하기 위하여 spectral-amplitude-code(SAC) OCDMA가 제안되었고 이 방법을 이용하면 code의 길이도 줄이고 MAI를 제거할 수 있다^[1, 4~6].

이와 같은 특성을 이용하기 위한 code로는 maximal-length sequential code(M-sequence codes), Hadamard codes, modified quadratic congruence codes와 symmetric balance incomplete block design(BIBD) code 등이 사용되고 있다. 이 중에서 BIBD code는 code length가 $N = v(m) = \frac{q^{m+1}-1}{q-1}$ 이며 weight는

* 정희원, 이화여자대학교 전자공학과
(Dept. of Electronics Engineering, Ewha Womans University)
접수일자: 2012년5월15일, 수정완료일: 2012년12월28일

$w = v(m-1) = \frac{q^m - 1}{q-1}$ 이고 in-phase cross correlation(CC)은 $\lambda = \frac{q^{m-1} - 1}{q-1}$ 인 (N, w, λ) code로 구성되어 있다. 여기서 $q = p^n$ 으로 나타내는 prime power이며 p 는 prime number이고 m 과 n 은 양의 정수이므로 q 와 m 값을 변화시켜 다양한 형태의 code를 얻을 수 있다. 또한 이를 이용하여 구한 code는 주기적인 특성을 지니므로 arrayed-waveguide grating(AWG) router의 주기적인 특성을 이용하여 보다 간단한 codec을 구성할 수 있는 장점도 지닌다.

광통신 시스템의 성능을 평가하는 기본적인 수단은 spectral efficiency(η_s)이다. 이는 주어진 bit-error-rate(BER)를 만족하는 조건에서 단위 optical bandwidth에 대한 시스템의 throughput을 나타내므로 시스템의 성능이 우수하다는 것은 주어진 BER에서 spectral efficiency가 높다는 것을 의미한다^[2].

본 논문은 II장에서 일반적인 BIBD code와 ideal BIBD code의 구성방법을 설명한다. III장에서 BIBD code의 주요 잡음인 phase-induced intensity noise(PIIN)와 thermal noise를 분석한 결과를 이용하여 BER=10⁻⁹인 조건에서 spectral efficiency를 구하여 effective power의 조건에 따른 효율적인 시스템의 구현 방법을 기술하고 IV장에서 결론을 맺는다.

II. Symmetric Balance Incomplete Block Design(BIBD) Codes의 구성

1. 일반적인 BIBD Code의 구성

일반적인 BIBD code의 구성은 다음과 같이 projective geometry를 이용한다. Projective geometry PG(m, q)의 hyperplane과 point를 이용하여 symmetric (v, b, r, k, ζ) block design을 할 수 있다^[3]. 이 block design은 $v = b = \frac{q^{m+1} - 1}{q-1}$, $r = k = \frac{q^m - 1}{q-1}$ 그리고 $\zeta = \frac{q^{m-1} - 1}{q-1}$ 로 이루어진다. 그리고 v 개의 object와 b 개의 block으로 구성되며 각 object는 r 개의 block에 포함되어 있으며 각 block은 k 개의 object를 포함한다. $v = b$ 이고 $r = k$ 인 경우 symmetric이라 부르며 이 경우 각각의 두 blocks은 ζ 개의 object에서 교차한다. 이

를 이용한 code는 code length가 $N = v(m) = \frac{q^{m+1} - 1}{q-1}$ 이며 weight는 $w = v(m-1) = \frac{q^m - 1}{q-1}$ 이고 in-phase cross correlation(CC)은 $\lambda = \frac{q^{m-1} - 1}{q-1}$ 인 (N, w, λ) code로 구성되어 있다. 여기서 $q = p^n$ 으로 나타내는 prime power이며 p 는 prime number이고 n 은 양의 정수이다. 그리고 m ($m \geq 2$)은 finite vector space의 dimension을 나타낸다.

이를 이용한 cyclic symmetric code design은 다음과 같은 방법으로 한다. $\bar{\alpha} = (\alpha_0, \alpha_1, \dots, \alpha_{m-1}, \alpha_m)$ 은 α_j ($j \in \{0, 1, \dots, m\}$)가 Galois field GF(q)의 element인 $(m+1)$ -tuple을 나타낸다. Tuple set S를 α_j 가 모두 “0”이 아닌 경우를 고려하면 S는 $(q^{m+1} - 1)$ 개의 member를 가지게 된다. 임의의 nonzero tuple $\bar{\alpha} \in S$ 를 선택하여 $\bar{\alpha} \bullet x' = 0$ 을 풀면 $(q^m - 1)$ 개의 group으로 이루어진 근들을 얻을 수 있다.

이 중에서 $(q-1)$ 개는 서로 equivalent하므로 전체적으로 $v(m-1) = \frac{q^m - 1}{q-1}$ 종류의 equivalent class들을 얻을 수 있다. 여기서 $x \in S$ 이며 x' 는 x 의 transpose를 의미한다. 각 equivalent class에서 한 group의 근을 택하여 q -ary number (x_0, x_1, \dots, x_m) 을 mapping하여 얻은 $v(m-1) = \frac{q^m - 1}{q-1}$ 개로 이루어진 set를 R 로 표시한다.

Set R 에서 $D(R) = \{i : 0 \leq i < v(m), \beta^i \in R\}$ 식을 이용하여 하나의 decimal number sequence를 얻을 수 있다. 여기서 β 는 GF(q^{m+1})의 primitive element이다.

다음으로 방정식 $D_k = D + k$, where $k \in \{0, 1, 2, \dots, v(m)-1\}$ 식을 이용하여 $v(m)$ 개의 number sequences를 얻을 수 있으며 이렇게 얻은 number sequences가 BIBD이다. 각각의 number sequences D_k 로부터 다음 식을 이용하여 binary sequence $s(i)$ 를 얻는다.

$$s(i) = \begin{cases} 1, & \text{if } i \in D_k \\ 0, & \text{else.} \end{cases} \quad (1)$$

이 $v(m)$ 개의 $s(i)$ sequence가 최종적으로 얻은 code sequence가 된다.

하나의 예로 $q = 2, m = 4$ 인 경우 cyclic symmetric BIBD code sequence를 생성해 본다. $GF(q^{m+1}) = GF(2^5)$ 의 irreducible polynomial은 $x^5 + x^2 + 1$ 이다. 이 경우 tuple set S는 (00001), (00010), (00011), (00100), ..., (11111)이다. 임의로 $\bar{\alpha} = (00101)$ 을 선택하여

표 1. BIBD code의 예.

Table 1. An example of BIBD code.

k 값	$s(i)$
$k = 0$	1010011000001110010001010111101
$k = 1$	1101001100000111001000101011110
$k = 2$	0110100110000011100100010101111
$k = 3$	10110100110000011100100010101111
$k = 4$	11011010011000001110010001010111
$k = 5$	1110110100110000011100100010101
$k = 6$	1111011010011000001110010001010
$k = 7$	0111101101001100000111001000101
$k = 8$	1011110110100110000011100100010
$k = 9$	0101111011010011000001110010001
$k = 10$	1010111101101001100000111001000
$k = 11$	0101011110110100110000011100100
$k = 12$	0010101111011010011000001110010
$k = 13$	0001010111101101001100000111001
$k = 14$	1000101011110110100110000011100
$k = 15$	0100010101111011010011000001110
$k = 16$	0010001010111101101001100000111
$k = 17$	1001000101011110110100110000011
$k = 18$	1100100010101111011010011000001
$k = 19$	1110010001010111101101001100000
$k = 20$	0111001000101011110110100110000
$k = 21$	0011100100010101111011010011000
$k = 22$	00011100100010101111011010011000
$k = 23$	00001110010001010111101101001100
$k = 24$	000001110010001010111101101001100
$k = 25$	1000001110010001010111101101001
$k = 26$	1100000111001000101011110110100
$k = 27$	01100000111001000101011110110100
$k = 28$	0011000001110010001010111101101
$k = 29$	10011000001110010001010111101101
$k = 30$	010011000001110010001010111101101

$$\bar{\alpha} \cdot x' = 0 \text{ 을 } \quad \text{구하면} \quad (00101) \begin{pmatrix} x_0 \\ x_1 \\ x_2 \\ x^3 \\ x^4 \end{pmatrix} = 0 \quad \text{이므로}$$

$x_2 + x_4 = 0$ 을 만족해야 한다. 이를 만족하는 set R 은 (00010), (01000), (01010), (00101), (00111), (01101), (01111), (10000), (10010), (11000), (11010), (10101), (10111), (11101), (11111)이다. $\beta^5 = \beta^2 + 1$ 을 이용하여 $D(R)$ 을 구하면 (1, 3, 6, 7, 13, 14, 15, 18, 22, 24, 26, 27, 28, 29, 31)이 된다. $D_k = D + k$, where $k \in \{0, 1, 2, \dots, 30\}$ 와 (1)식을 이용하여 구한 cyclic symmetric BIBD code의 예가 <표 1>에 나타나 있다.

2. Ideal BIBD Code의 구성

In-phase CC가 1인 경우 PIIN을 줄일 수 있는 특성이 있어 thermal noise를 무시한 경우 SNR을 극대화 시킬 수 있어 이상적이라 할 수 있다. 이는 BIBD code의 경우 $m = 2$ 일 때에 해당하며 이 경우 code의 특성은 $(q^2 + q + 1, q + 1, 1)$ 이 된다. $q = 3, m = 2$ 인 경우의 (13, 4, 1) ideal code 생성과정은 다음과 같다. 우선 $\bar{\alpha} = (1\ 0\ 1)$ 이라 가정하면

$$(1\ 0\ 1) \begin{pmatrix} x_0 \\ x_1 \\ x_2 \end{pmatrix} = 0 \quad (2)$$

식 (2)이 만족되어야 하고 그 결과 $x_0 + x_2 = 0$ 을 얻는다. 이를 만족하는 equivalence class들은 (010, 020) (102, 201) (112, 211) (122, 211)이며 각 equivalence class에서 하나씩 뽑아 구성한 $R = (010, 102, 112, 122)$ 가 된다.

$GF(q^{m+1}) = GF(3^3)$ 에서 irreducible polynomial $x^3 + 2x + 1$ 을 활용하여 구한 $D(R) = (3, 7, 8, 10)$ 이므로 $k = 0$ 일 때 얻은 $s(i) = 0010001101000$ 이고 $k = 9$ 일 때는 $s(i) = 1101000001000$ 을 얻을 수 있다.

III. 시스템 성능 분석

본 시스템의 성능 분석을 위하여 잡음 중에 주로 영향을 미치는 PIIN과 thermal noise를 고려한다. Encoding process 이후 passive star coupler에서 합해

진후 decoder를 지난 (N, w, λ) code word의 $c_k(i)$ 를 k 번째 code word의 i 번째 요소라 하면 code word의 특성은 식 (3)으로 나타난다.

$$\sum_{i=1}^N c_k(i)c_\ell(i) = \begin{cases} w, & k = \ell \\ \lambda, & k \neq \ell \end{cases} \quad k, \ell \in 1, \dots, K. \quad (3a)$$

$$\sum_{i=1}^N c_k(i)\overline{c_\ell(i)} = \begin{cases} 0, & k = \ell \\ w - \lambda, & k \neq \ell \end{cases} \quad k, \ell \in 1, \dots, K. \quad (3b)$$

ℓ 번째 수신기의 PD1 (photodiode 1)과 PD2에서 power spectral density (PSD)는 식 (4)로 나타낼 수 있다.

$$G_1(v) = \frac{P_{sr}}{\Delta\nu} \sum_{k=1}^K d_k \sum_{i=1}^N c_k(i)c_\ell(i) \cdot \left\{ u\left[\nu - \nu_0 - \frac{\Delta\nu}{2N}(-N+2i-2)\right] \right\} - u\left[\nu - \nu_0 - \frac{\Delta\nu}{2N}(-N+2i)\right]. \quad (4a)$$

$$G_2(v) = \frac{\alpha P_{sr}}{\Delta\nu} \sum_{k=1}^K d_k \sum_{i=1}^N c_k(i)\overline{c_\ell(i)} \cdot \left\{ u\left[\nu - \nu_0 - \frac{\Delta\nu}{2N}(-N+2i-2)\right] \right\} - u\left[\nu - \nu_0 - \frac{\Delta\nu}{2N}(-N+2i)\right]. \quad (4b)$$

여기서 P_{sr} 은 single source로부터 decoder를 통과한 후에 수신된 전력을 나타내고 $\Delta\nu$ 는 이 신호의 optical bandwidth를 나타내며 $u[\nu]$ 는 식 (5)로 표시된 unit step function이다.

$$u[\nu] = \begin{cases} 1, & \nu \geq 0 \\ 0, & \nu < 0. \end{cases} \quad (5)$$

Total incident optical power와 mean square optical power는 각각 식 (6)들로 나타낼 수 있다.

$$\int_0^\infty G_1(\nu)d\nu = \frac{P_{sr}}{N} (d_\ell w + \lambda \sum_{\substack{k=1 \\ k \neq \ell}}^K d_k). \quad (6a)$$

$$\int_0^\infty G_2^2(\nu)d\nu = \frac{P_{sr}^2}{N\Delta\nu} \sum_{i=1}^N \left\{ c_\ell(i) \left[\sum_{k=1}^K d_k c_k(i) \right] \cdot \left[\sum_{m=1}^K d_m c_m(i) \right] \right\}. \quad (6b)$$

$$\int_0^\infty G_2(\nu)d\nu = \frac{P_{sr}}{N} \lambda \sum_{\substack{k=1 \\ k \neq \ell}}^K d_k. \quad (6c)$$

$$\int_0^\infty G_2^2(\nu)d\nu = \frac{P_{sr}^2}{N\Delta\nu} \sum_{i=1}^N \left\{ \overline{c_\ell(i)} \left[\sum_{k=1}^K d_k c_k(i) \right] \cdot \left[\sum_{m=1}^K d_m c_m(i) \right] \right\}. \quad (6d)$$

Photocurrent I 는 식 (7)로 표시될 수 있다.

$$I = I_1 - I_2 = R \int_0^\infty G_1(\nu)d\nu - R \int_0^\infty G_2(\nu)d\nu = \frac{RP_{sr}wd_\ell}{N}. \quad (7)$$

식 (7)에서 R 은 PD의 responsivity로써 $R = \frac{\eta e}{h\nu_c}$ 이다.

여기서 η 는 quantum efficiency, e 는 electron's charge, h 는 Plank 상수, ν_c 는 optical source의 중간주파수이다.

수신단에서 photocurrent의 variance는 PIIN, shot noise와 thermal noise로 구성되나 BER에 영향을 미치는 것은 주로 PIIN과 thermal noise이므로 식 (8)로 나타낼 수 있다.

$$\langle I^2 \rangle = \langle I_{IN}^2 \rangle + \langle I_{th}^2 \rangle = BI_1^2 \tau_{c1} + BI_2^2 \tau_{c2} + \frac{4K_b T_n B}{R_L}. \quad (8)$$

$$\text{식 (8)에서 coherence time } \tau_c = \frac{\int_0^\infty G^2(\nu)d\nu}{\left[\int_0^\infty G(\nu)d\nu \right]^2}$$

로 나타낼 수 있으며 K_b 는 Boltzmann's constant, T_n 은 absolute receiver noise temperature이며 R_L 은 receiver load resistance이다. 따라서 식 (9)가 된다.

$$\langle I^2 \rangle = BR^2 \left[\int_0^\infty G_1^2(\nu)d\nu + \int_0^\infty G_2^2(\nu)d\nu \right] + \frac{4K_b T_n B}{R_L}. \quad (9)$$

모든 사용자가 데이터 '1'을 전송한다고 가정하고 $\sum_{m=1}^K c_m(i) = \frac{Kw}{N}$ 을 이용하면 다음 식이 된다.

$$\int_0^\infty G_1^2(\nu) d\nu = \frac{P_{sr}^2 K w}{N^2 \Delta \nu} [w + \lambda(K-1)].$$

$$\int_0^\infty G_2^2(\nu) d\nu = \frac{\alpha^2 P_{sr}^2 K w}{N^2 \Delta \nu} (K-1)(w-\lambda).$$

따라서 PIIN은 다음 식이 된다.

$$\langle I_{IN}^2 \rangle = BR^2 \left[\int_0^\infty G_1^2(\nu) d\nu + \int_0^\infty G_2^2(\nu) d\nu \right]$$

$$= \frac{BR^2 P_{sr}^2 K w^2}{N^2 \Delta \nu} \left[1 + (K-1) \frac{\lambda}{w-\lambda} \right].$$

위의 식을 대입하면 noise power는 식 (10)으로 주어진다.

$$\langle I^2 \rangle = \frac{BR^2 P_{sr}^2 K w^2}{N^2 \Delta \nu} \left[1 + (K-1) \frac{\lambda}{w-\lambda} \right] + \frac{4K_b T_n B}{R_L}. \quad (10)$$

실제로 각 사용자가 '1'을 전송할 확률은 $\frac{1}{2}$ 이므로 noise power는 식 (11)이 된다.

$$\langle I^2 \rangle = \frac{BR^2 P_{sr}^2 K w^2}{2N^2 \Delta \nu} \left[1 + (K-1) \frac{\lambda}{w-\lambda} \right] + \frac{4K_b T_n B}{R_L}. \quad (11)$$

위의 결과를 이용하여 signal-to-noise(SNR)을 구하면 다음 식 (12)가 된다.

$$SNR = \frac{(I_1 - I_2)^2}{\langle I^2 \rangle}$$

$$= \frac{R^2 P_{sr}^2 w^2}{N^2} \cdot \frac{BR^2 P_{sr}^2 K w^2}{2N^2 \Delta \nu} \left[1 + (K-1) \frac{\lambda}{w-\lambda} \right] + \frac{4K_b T_n B}{R_L}. \quad (12)$$

Gaussian approximation을 가정하고 BER(bit error rate)을 구하면 식 (13)이 된다.

$$P_e = \frac{1}{2} erfc \left(\sqrt{\frac{SNR}{8}} \right). \quad (13)$$

위의 조건에서 BER=10⁻⁹를 만족하기 위한 SNR=143.9 이다. Spectral efficiency는

$$\eta_s = \frac{N_u B_b}{\Delta \nu} \quad (14)$$

표 2. BER 계산에 사용된 값들.

Table 2. Typical parameters used in the BER calculation.

PD quantum efficiency	$\eta = 0.6$
Optical center frequency	$\nu_c = 194 \text{ THz}(1550\text{nm})$
Electron's charge	$e = 1.602 \times 10^{-19} \text{ (C)}$
Plank's constant	$h = 6.626 \times 10^{-34} \text{ J.s}$
Responsivity	$R = \frac{\eta e}{h \nu_c} = 0.7477$
Effective power	$P_{sr} = -10 \text{ dBm}, -20 \text{ dBm}, -25 \text{ dBm}$
Receiver electrical bandwidth	$B = 80 \text{ MHz}$
Boltzmann's constant	$K_b = 1.38 \times 10^{-23} \text{ J/K}$
Absolute receiver noise temperature	$T_n = 300^\circ \text{ K}$
Receiver load resistor	$R_L = 1030\Omega$
Data bit rate	$R_b = 155 \text{ Mbps}$

로 표시되는데 여기서 N_u 는 동시사용자 수이고 B_b 는 data bit rate이며 $\Delta \nu$ 는 optical bandwidth를 나타낸다. 이를 구하기 위하여 <표 4>에 주어진 바와 같이 data bit rate를 155 Mbps로 고정시키고 이를 만족시키기 위한 receiver electrical bandwidth를 80 MHz로 가정하였다. q 와 m 값을 변화시켜가며 구한 다양한 BIBD code에서 최대 동시사용자 수 N_u 가 code의 길이 N 과 같게 하여 (12)식을 이용하여 각 조건에서 optical bandwidth $\Delta \nu$ 를 구하고 이 결과를 (14)식에 대입하여 spectral efficiency η_s 를 구하였다.

그림 1은 effective power $P_{sr} = -10 \text{ dBm}$ 인 조건에서 q 의 값을 2, 3 또는 4로 고정시키고 m 값을 변화시켜 code의 길이와 최대사용자수를 변화시켜가며 spectral efficiency를 구하였다. 또한 비교를 위하여 $m = 2$ 로 고정시키고 q 값을 변화시키며 구한 결과도 그림에 포함시켰다. $m = 2$ 인 경우는 in-phase CC가 1이 되어 PIIN이 최소화되어 이상적이라 할 수 있다. 그림 1이 보여 주듯이 effective power $P_{sr} = -10 \text{ dBm}$ 인 경우는 $m = 2$ 로 고정시키고 q 값을 변화시키며 구한 결과가 가장 높은 spectral efficiency를 보여 주었다. 따라서 effective power가 충분이 큰 경우는 $m = 2$ 로 고정시키고 q 값을 변화시켜 최대사용자수를 증가시키는 방법 즉 ideal BIBD code 구성 방법이 효과적이다.

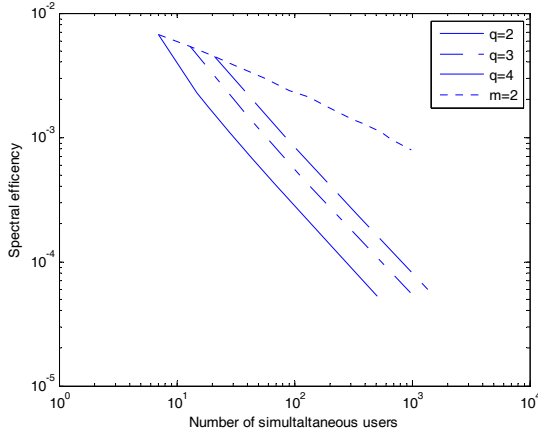


그림 1. $P_{sr} = -10$ dBm 일 때 동시사용자 수에 따른 spectral efficiency

Fig. 1. Spectral efficiency versus number of simultaneous users when $P_{sr} = -10$ dBm.

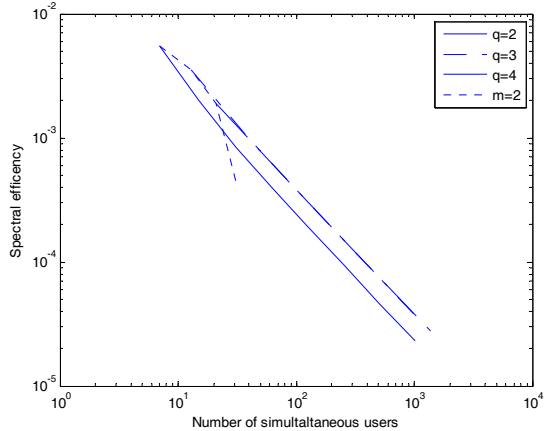


그림 3. $P_{sr} = -25$ dBm 일 때 동시사용자 수에 따른 spectral efficiency

Fig. 3. Spectral efficiency versus number of simultaneous users when $P_{sr} = -25$ dBm.

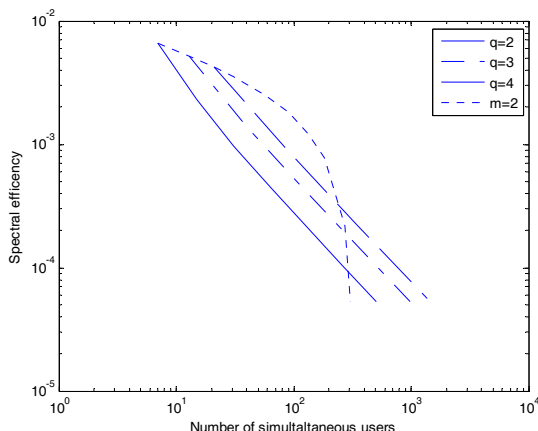


그림 2. $P_{sr} = -20$ dBm 일 때 동시사용자 수에 따른 spectral efficiency

Fig. 2. Spectral efficiency versus number of simultaneous users when $P_{sr} = -20$ dBm.

그림 2는 그림 1을 구한 경우와 같은 조건에서 effective power만 $P_{sr} = -20$ dBm으로 낮추어 계산한 결과를 나타내었다. 이 경우 최대사용자수 N_u 가 큰 경우는 오히려 $m=2$ 로 고정시키고 q 값을 변화시키며 구한 ideal BIBD code 구성 방법이 비효율적임을 알 수 있다.

그림 3은 그림 2와 동일한 조건에서 effective power를 $P_{sr} = -25$ dBm으로 더 낮추어 계산한 결과를 나타내었다. 이 결과 역시 N_u 가 큰 경우는 오히려 $m=2$ 로 고정시키고 q 값을 변화시키며 구한 ideal BIBD

code 구성 방법이 훨씬 더 비효율적임을 알 수 있다. Effective power를 $P_{sr} = -25$ dBm으로 낮춘 경우는 thermal noise를 무시할 수 없어 $m=2$ 로 고정시키고 q 값을 변화시키는 ideal BIBD code 구성 방법보다는 오히려 $q > 2$ 인 값을 취하고 m 값을 변화시키는 설계가 더 효율적임을 알 수 있다.

IV. 결 론

본 논문은 q 와 m 값을 변화시켜가며 다양한 구성을 할 수 있는 BIBD code들의 spectral efficiency를 구하였다. 이 시스템의 주된 잡음인 phase-induced intensity noise(PIIN)와 thermal noise를 분석하여 BER=10⁻⁹을 만족시키는 spectral efficiency를 계산한 결과 effective power가 큰 경우 ($P_{sr} = -10$ dBm)는 $m=2$ 로 고정시키고 q 값을 변화시키는 ideal BIBD code 구성이 효율적이었다. 이와 반대로 effective power가 작은 경우 ($P_{sr} = -25$ dBm)는 ideal BIBD code 구성 보다는 $q > 2$ 인 값을 취하고 m 값을 변화시키는 설계가 더 효율적임을 알 수 있었다.

참 고 문 현

- [1] E. Yang, J. Huang and S. Tseng, "Optical CDMA Network Codecs Structured With

- M-Sequence Codes Over Waveguide-Grating Routers,” IEEE Photonics Technology Letters, Vol. 16, no. 2, pp. 641–643, Feb. 2004.
- [2] H. Rochette, S. Ayotte and L. Rusch, “Analysis of the Spectral Efficiency of Frequency-Encoded OCDMA Systems with Incoherent Sources,” J. of Lightwave Technology, Vol. 23, no. 4, pp. 1610–1619, April 2005.
- [3] J. Wei and H. Ghafouri-Shiraz, “Codes for Spectral-Amplitude-Coding Optical CDMA Systems,” J. of Lightwave Technology, Vol. 20, no. 8, pp. 1284–1291, Aug. 2002.
- [4] M. Noshad and K. Jamshidi, “Bounds for the BER of Codes with Fixed Cross Correlation in SAC-OCDMA Systems,” J. of Lightwave Technology, Vol. 29, no. 13, pp. 1944–1950, July 2011.
- [5] M. Noshad and K. Jamshidi, “Code Family for Modified Spectral-Amplitude-Coding OCDMA Systems and Performance Analysis,” J. of Optical Communication Network, Vol. 2, no. 6, pp. 344–354, June. 2010.
- [6] 지윤규, “Spectral-Amplitude-Coding Optical CDMA를 위한 변형된 Modified Double Weight Code,” 전자공학회논문지, 제48권 SD편, 제4호, 1–5쪽, 2011년 4월

저 자 소 개



지 윤 규(정희원)
1978년 서울대학교 전자공학과
학사 졸업.
1980년 서울대학교 전자공학과
석사 졸업.
1984년 The University of Texas
at Austin 전자공학과
박사 졸업.

<주관심분야 : 광통신, 광정보처리>